

Fig. 1

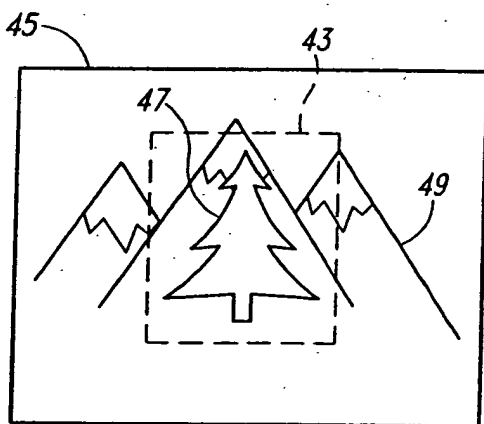


Fig. 2A

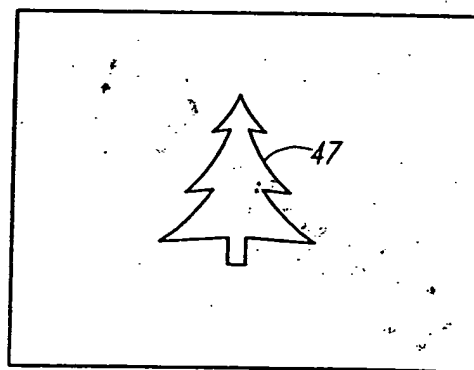


Fig. 2B

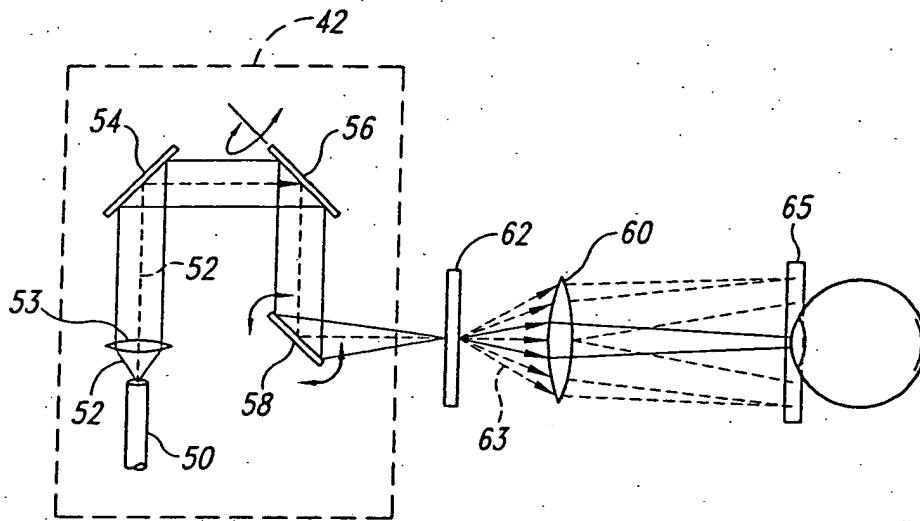


Fig. 3

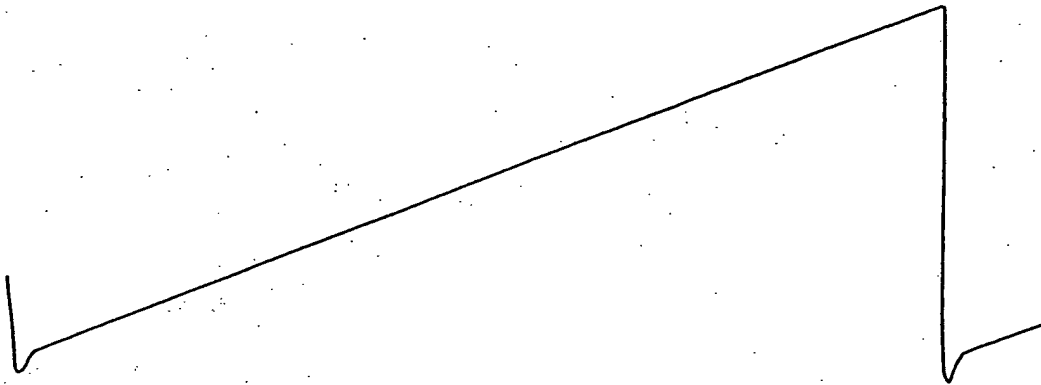


Fig. 4A

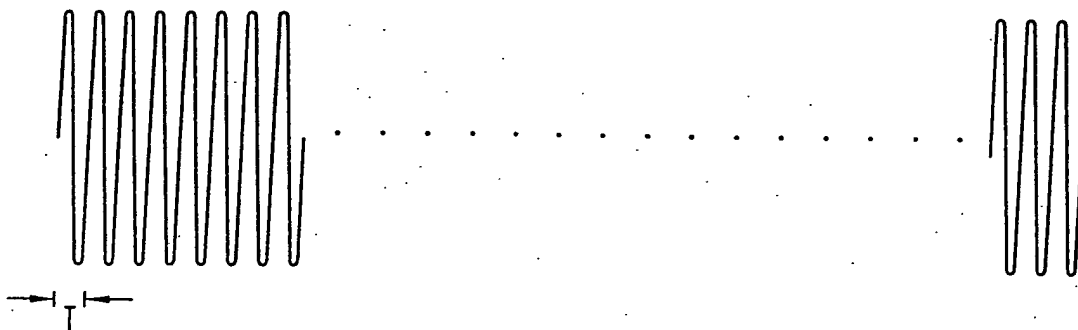


Fig. 4B

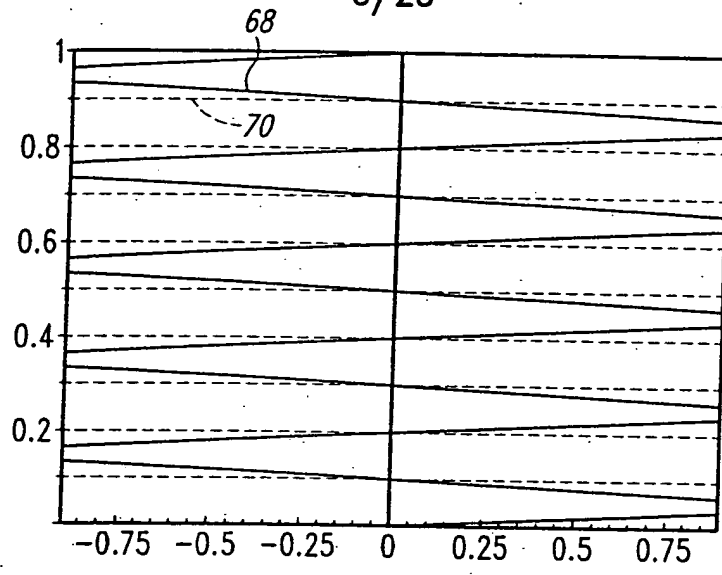


Fig. 5

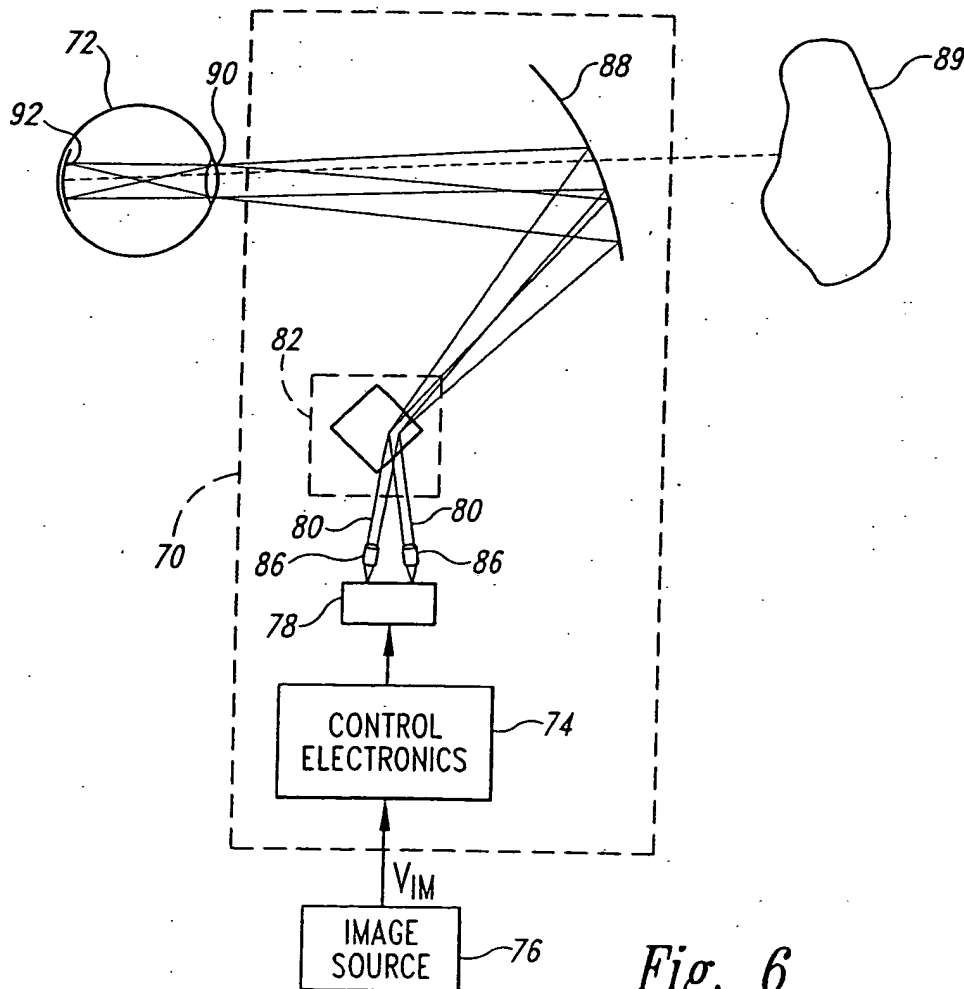
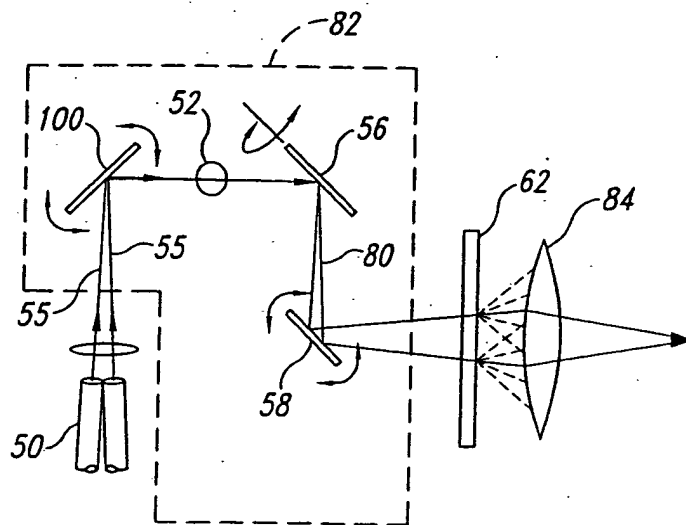
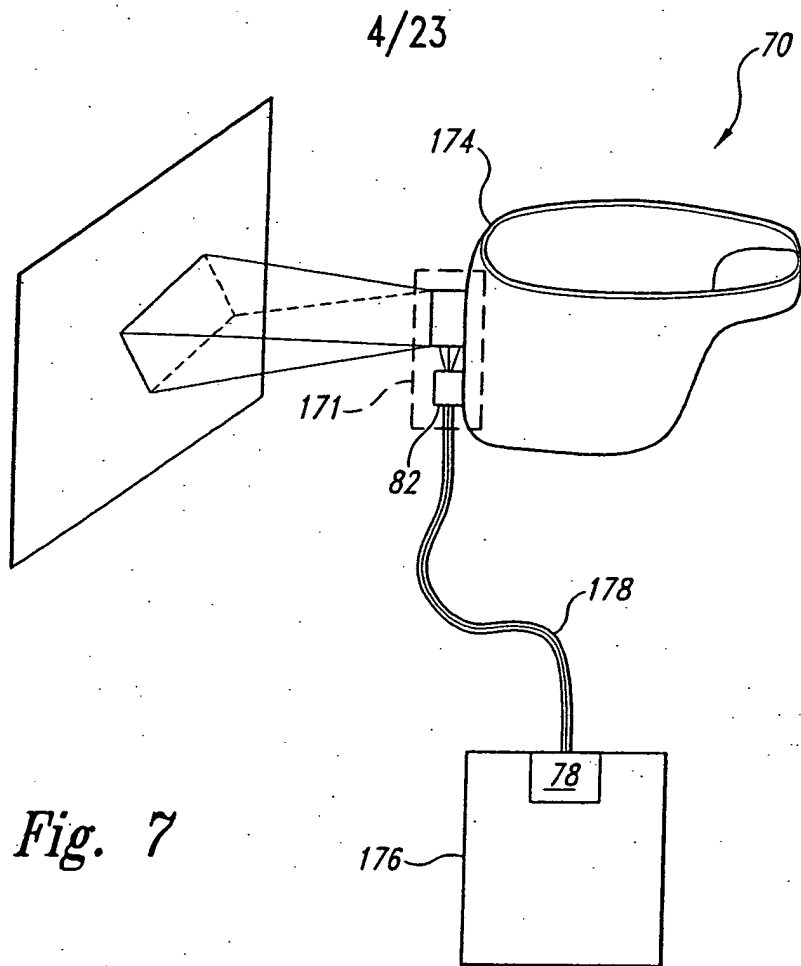


Fig. 6



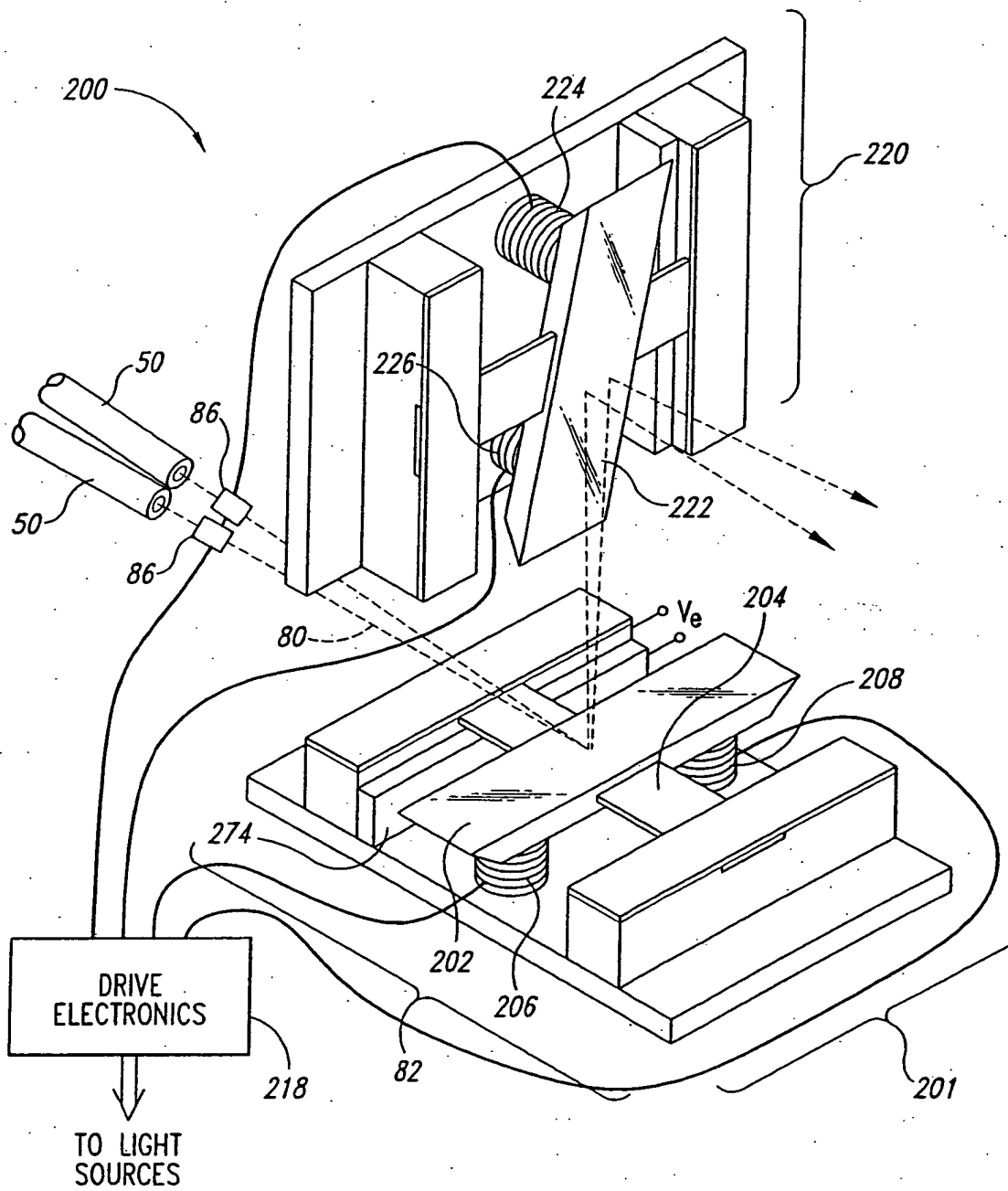
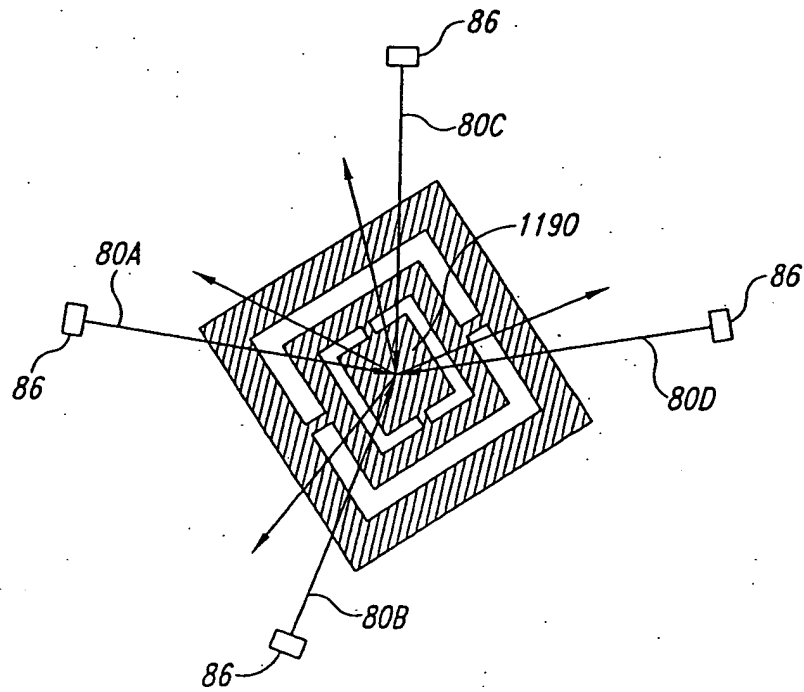
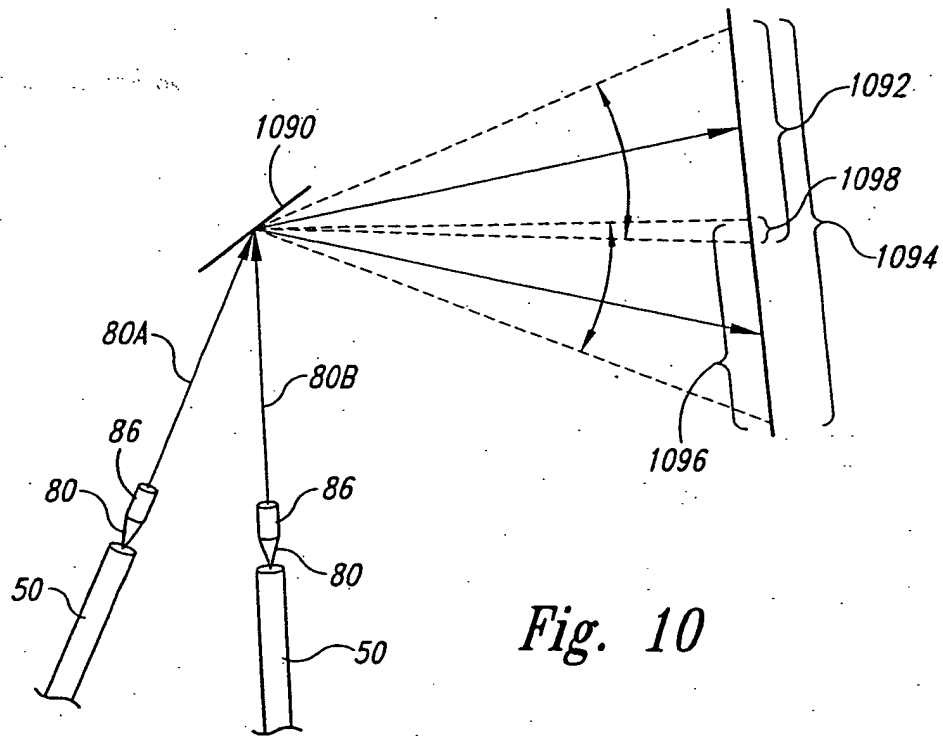


Fig. 9



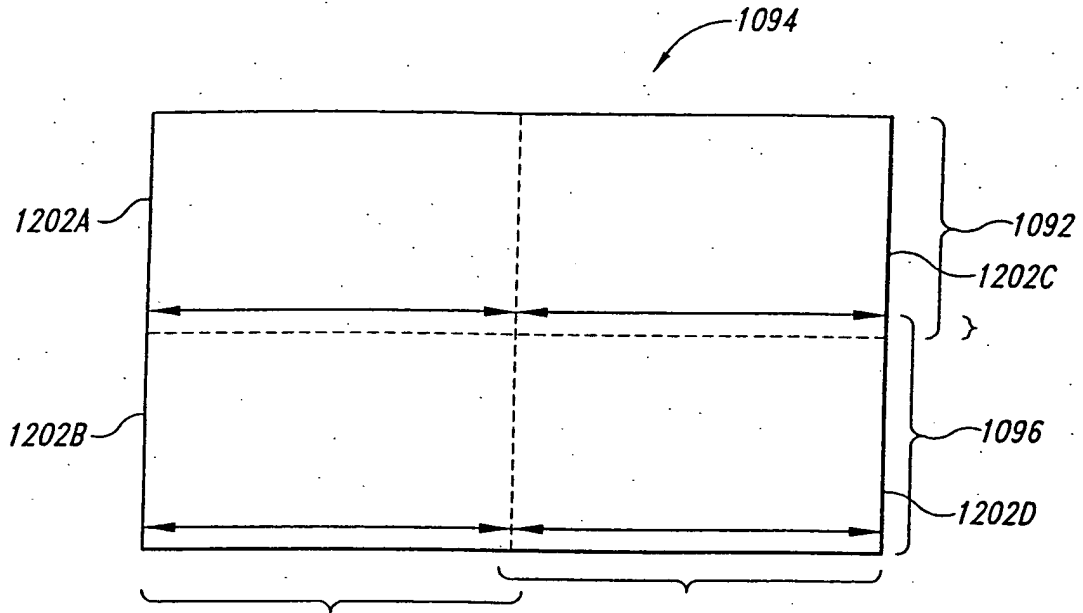


Fig. 12

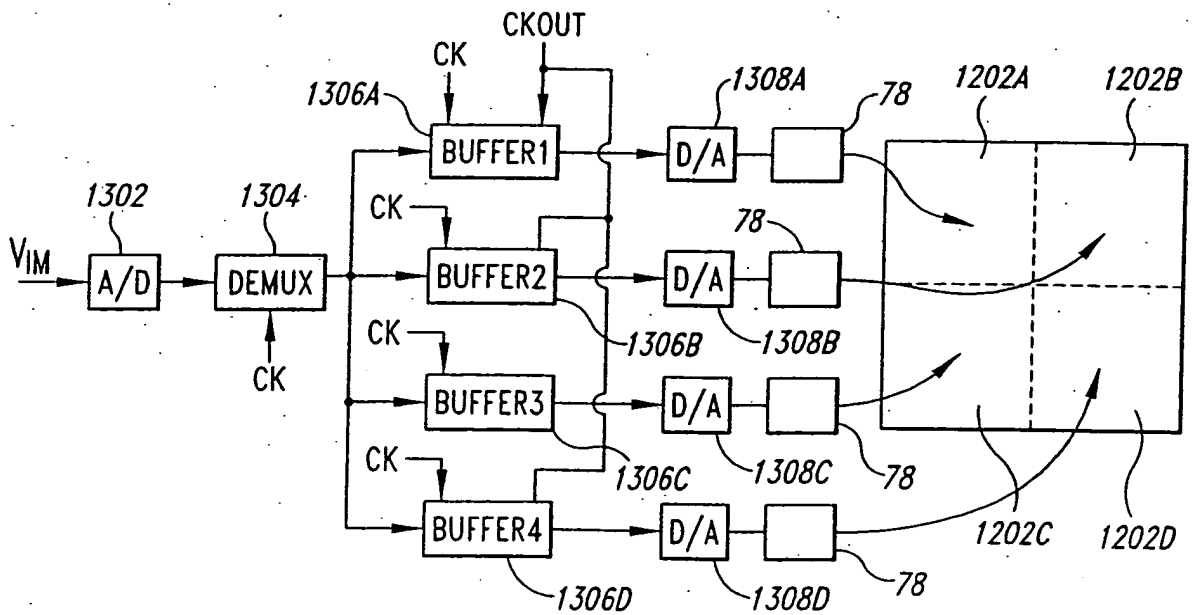


Fig. 13

8/23

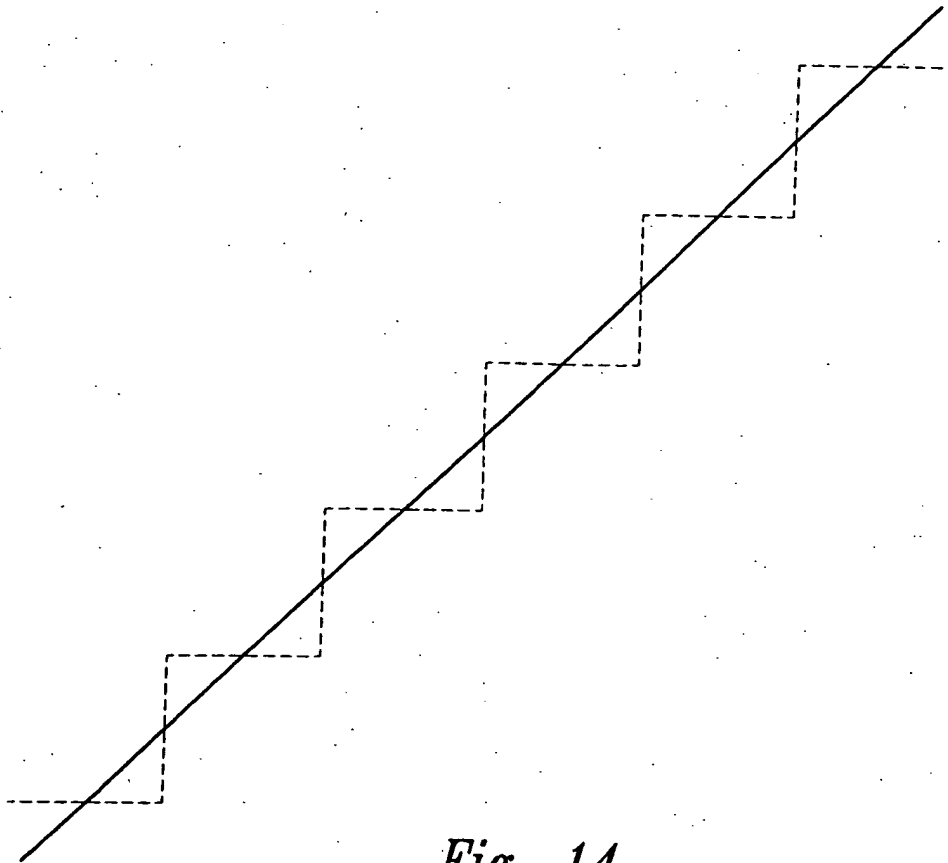


Fig. 14

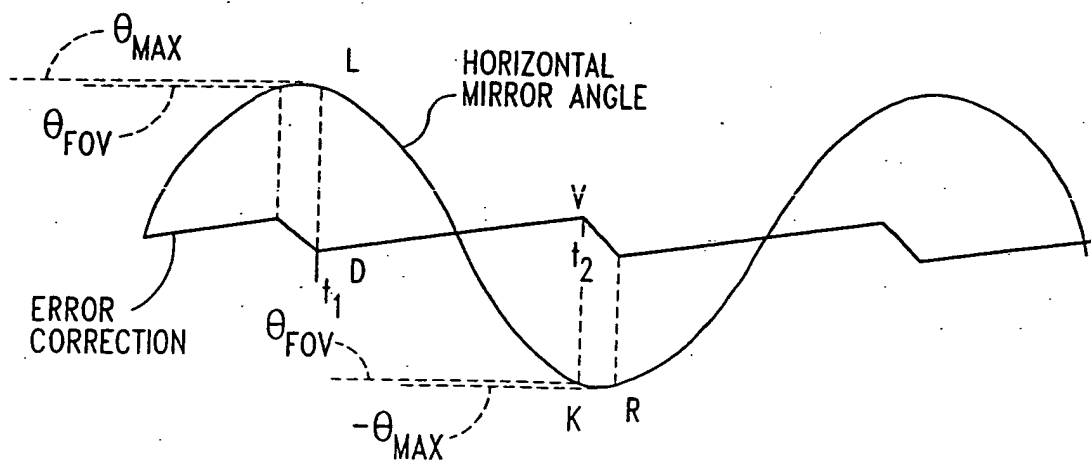
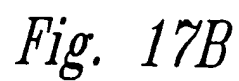
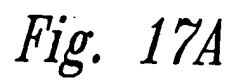
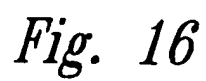


Fig. 15

BEST AVAILABLE COPY



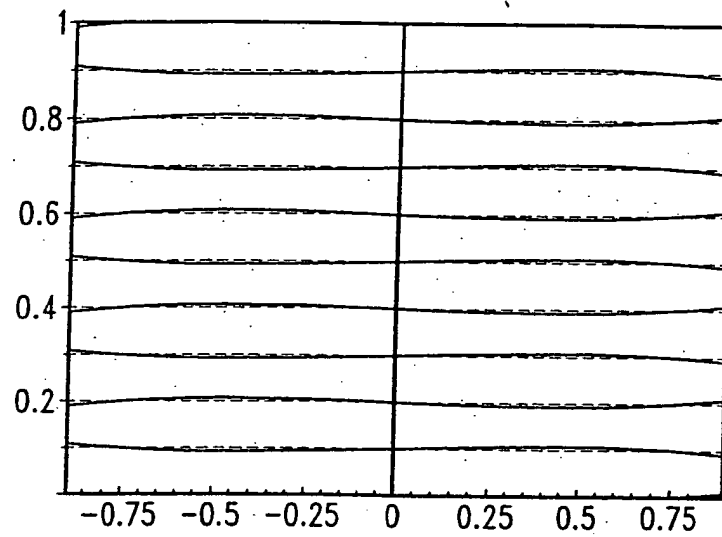


Fig. 18

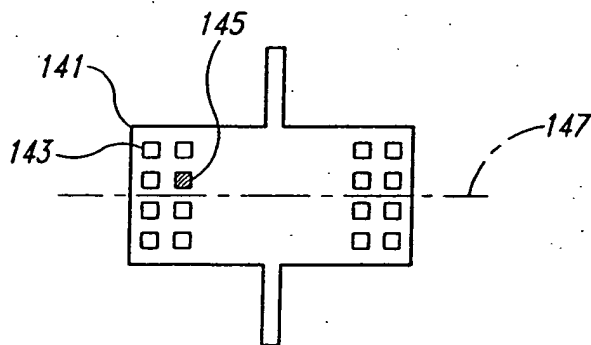


Fig. 19

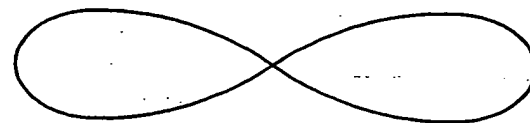
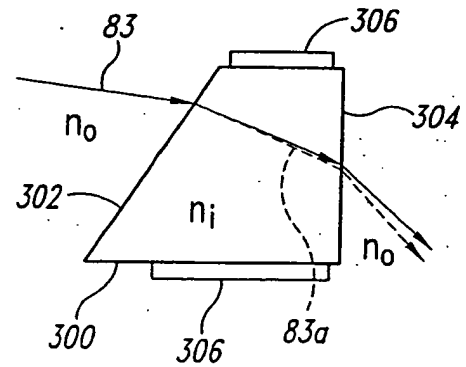
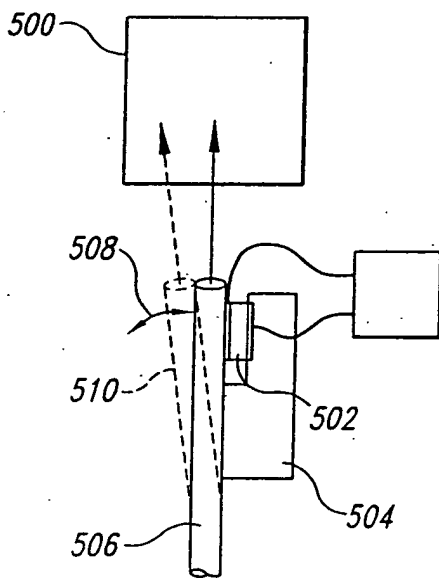
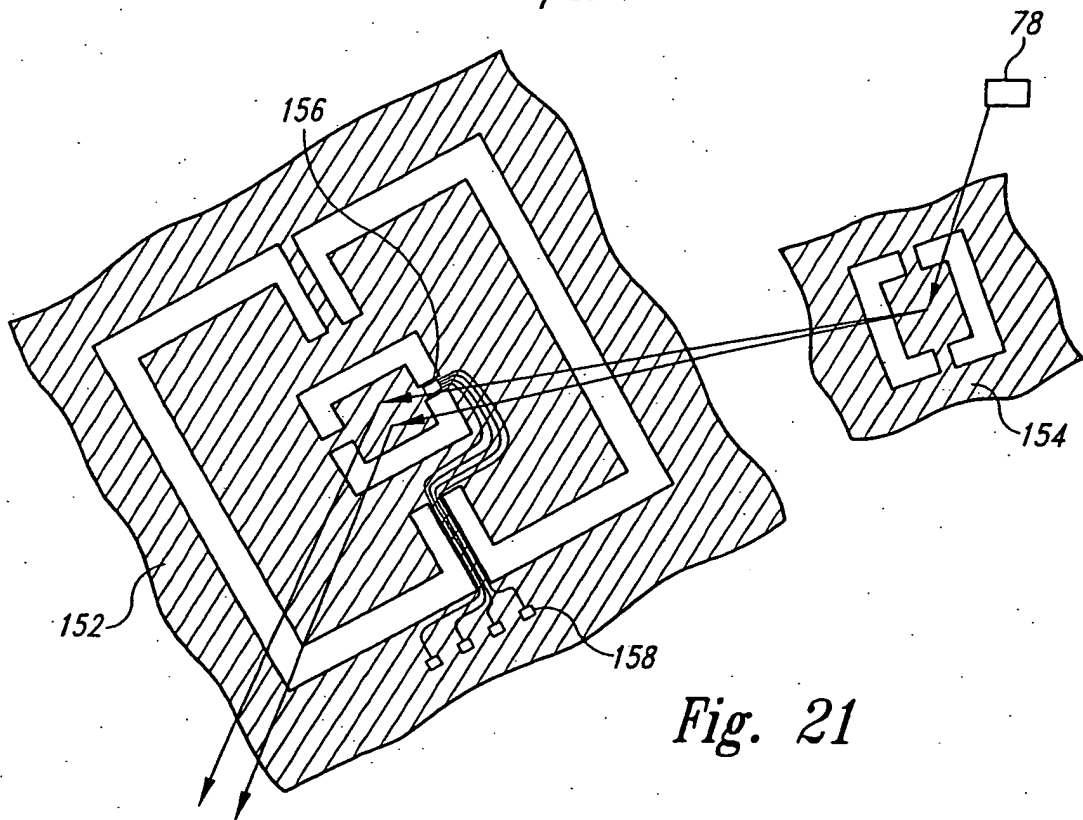


Fig. 20

11/23



12/23

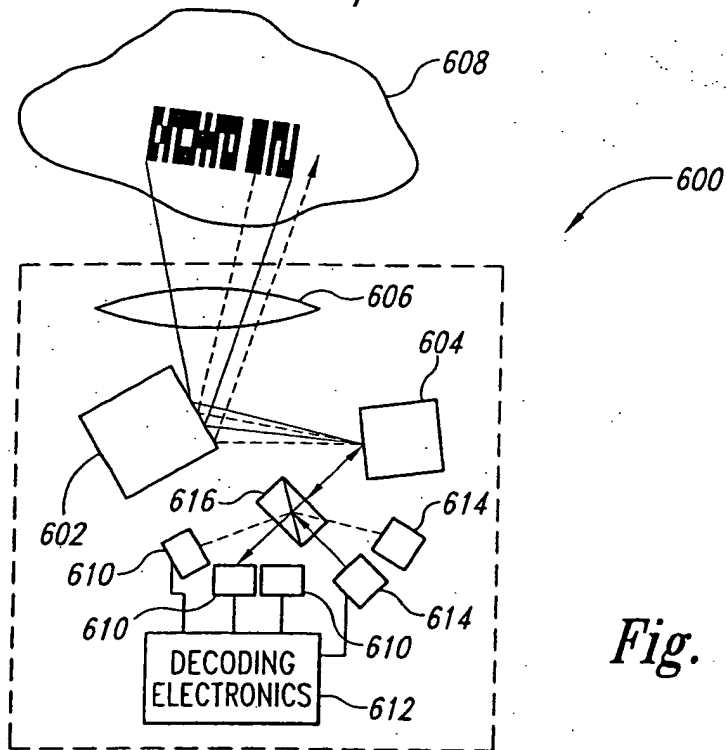


Fig. 24

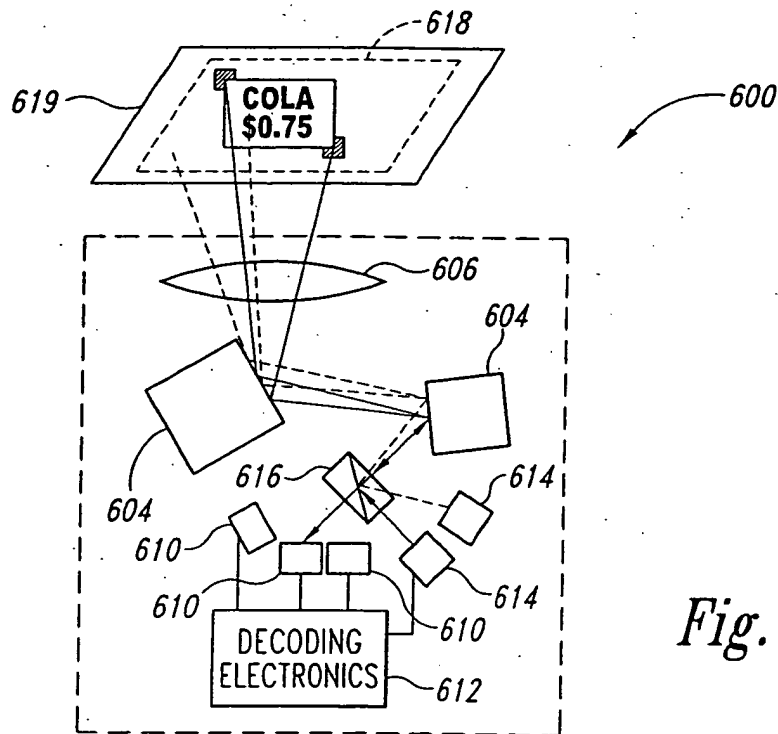


Fig. 25

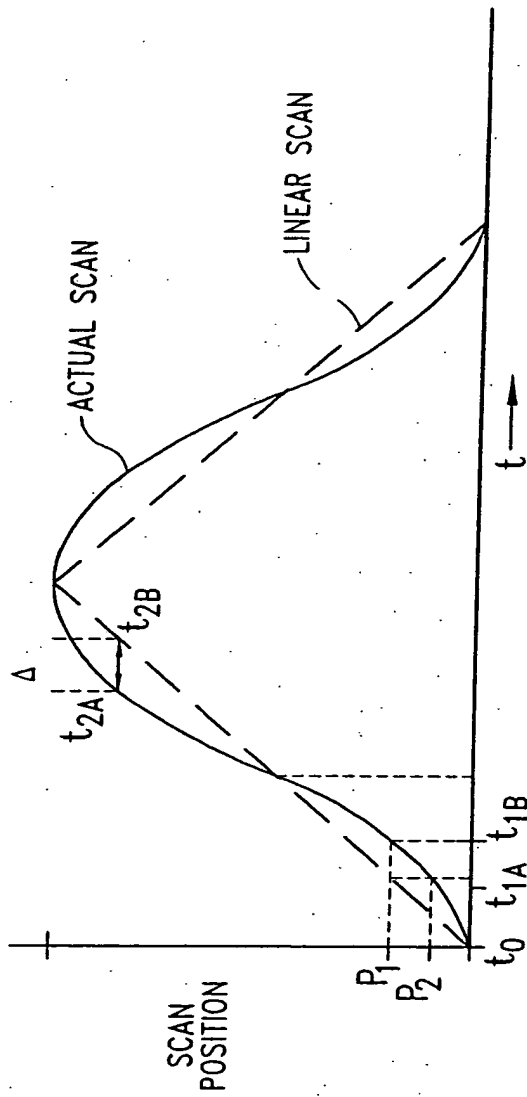


Fig. 26

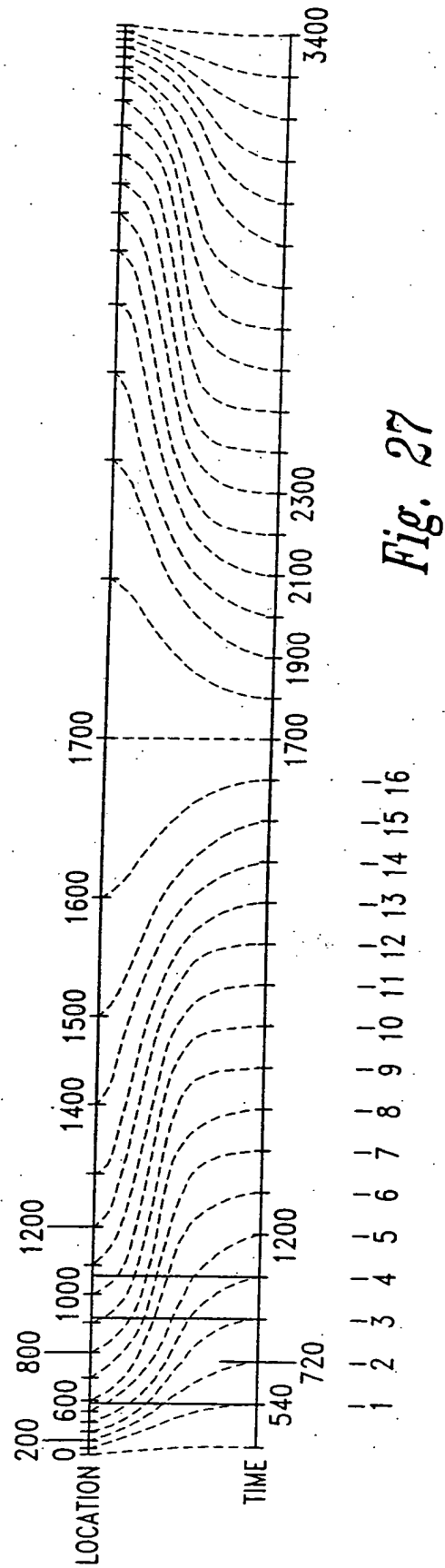


Fig. 27

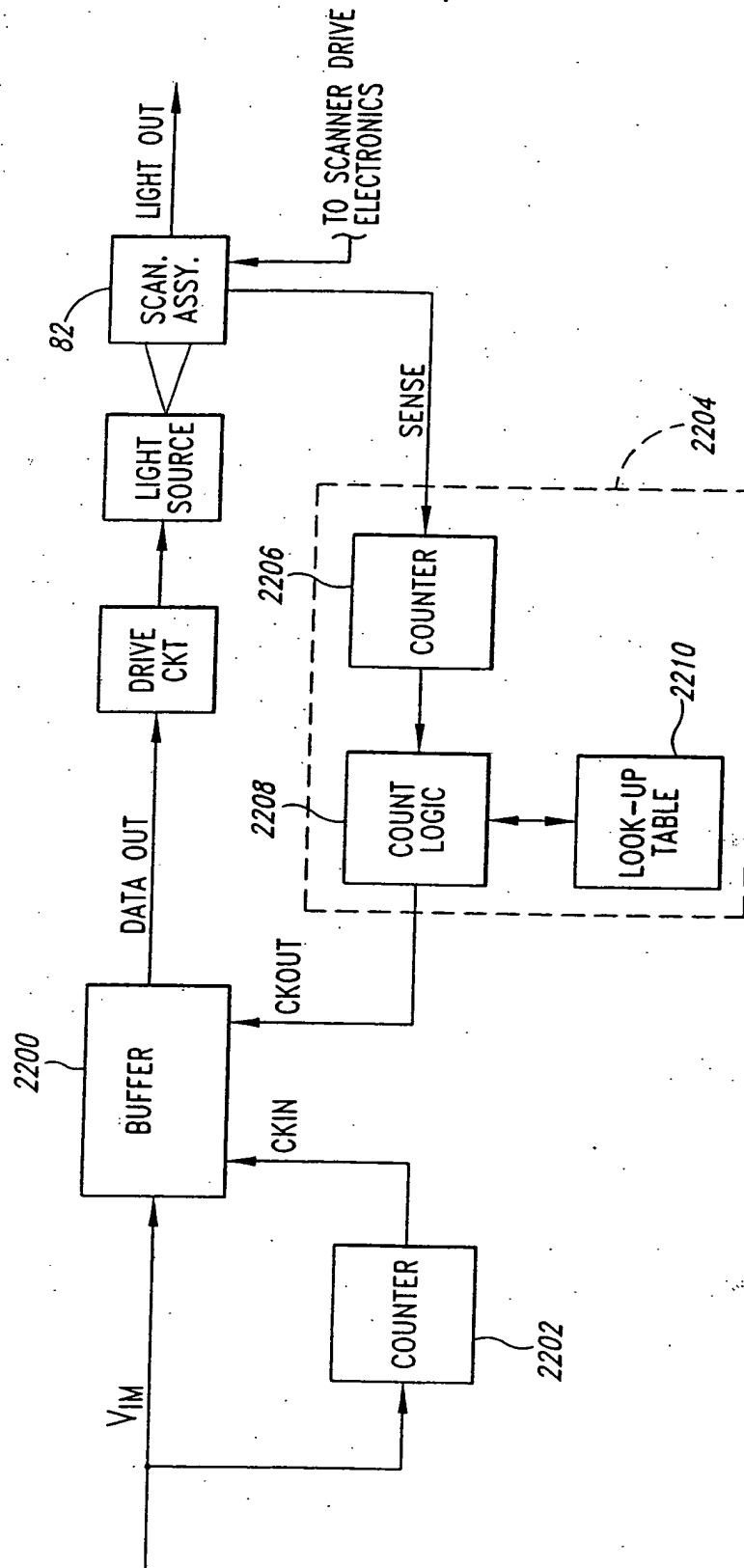


Fig. 28

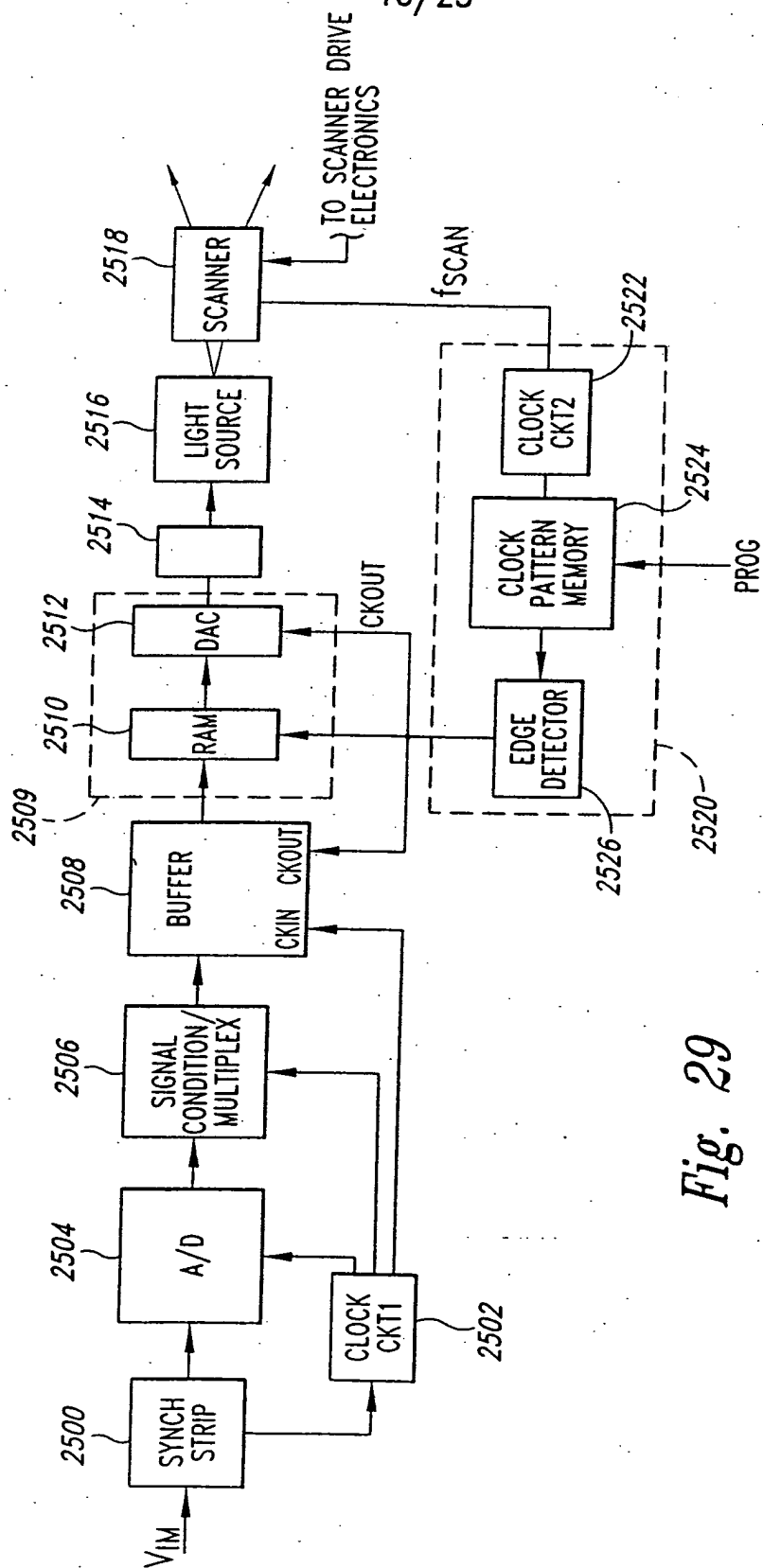


Fig. 29

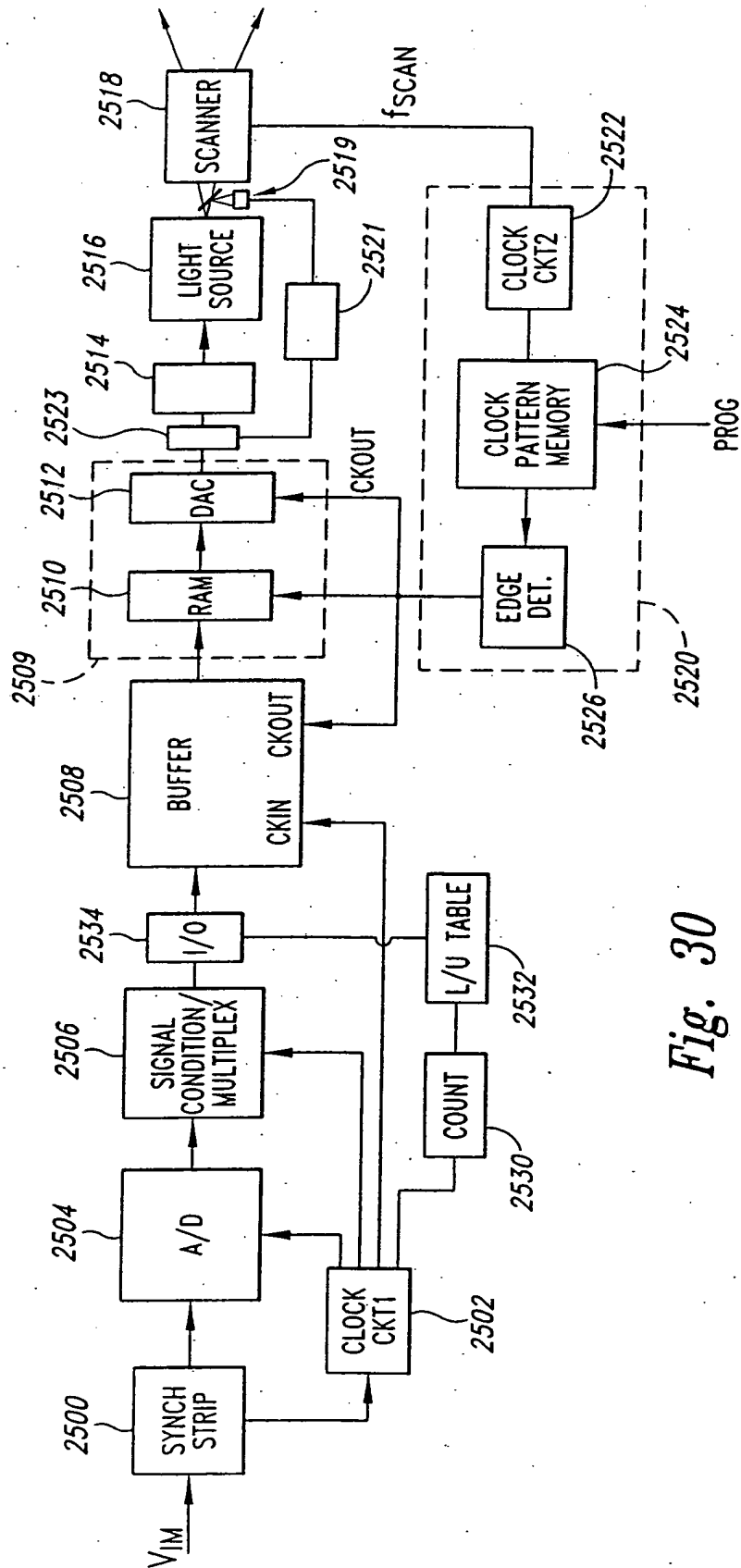


Fig. 30

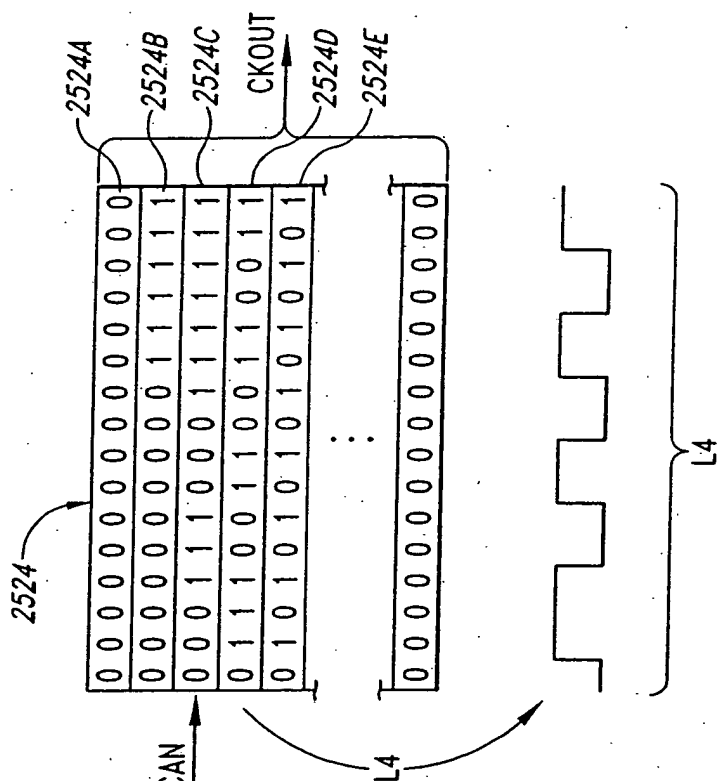


Fig. 31

3202			3204										3206	
B _{0,0}	B _{0,1}	B _{0,2}	0	0	0	0	0	0	0	0	0	0	0	0
B _{1,0}	B _{1,1}	B _{1,2}	B _{0,3}	B _{0,4}	B _{0,5}	B _{0,6}	B _{0,7}	0	0	0	0	0	0	0
B _{2,1}	B _{2,3}	B _{2,2}	B _{1,3}	B _{1,4}	B _{1,5}	B _{1,6}	B _{1,7}	B _{0,8}	B _{0,9}	B _{0,10}				

Fig. 32

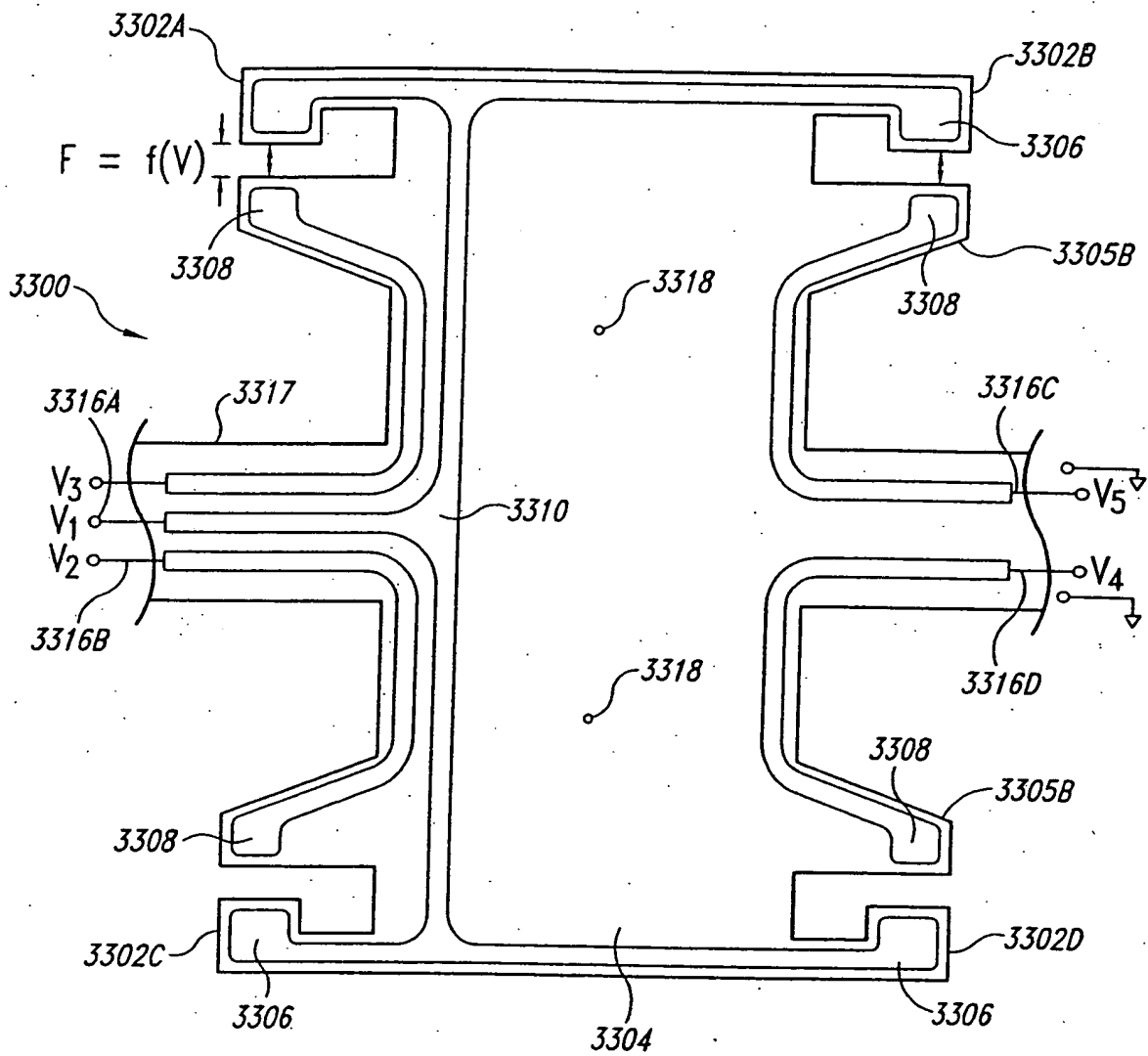


Fig. 33

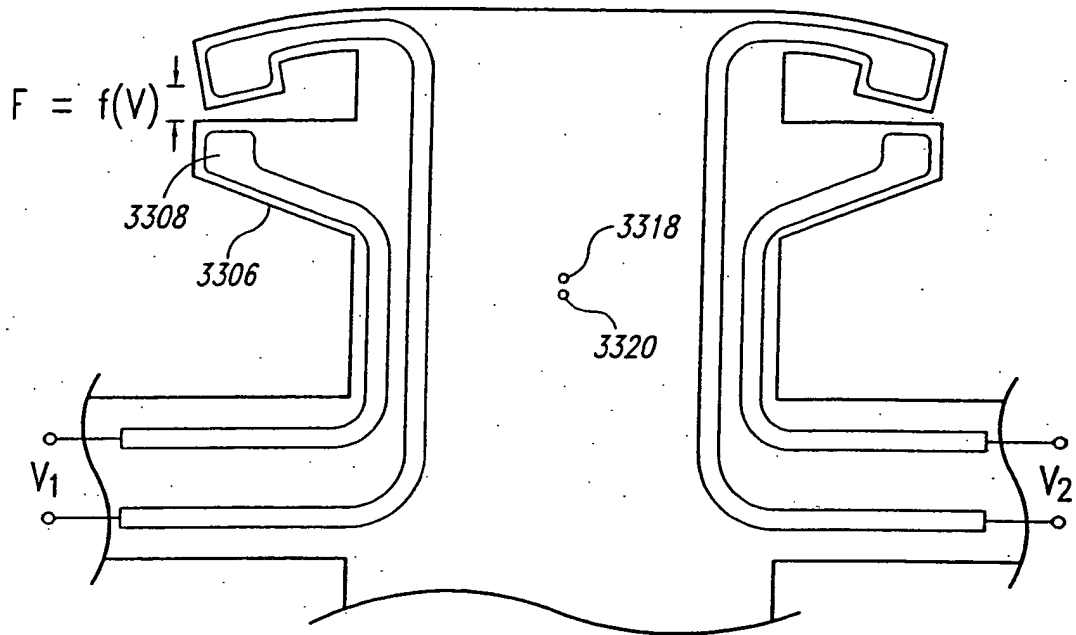


Fig. 34

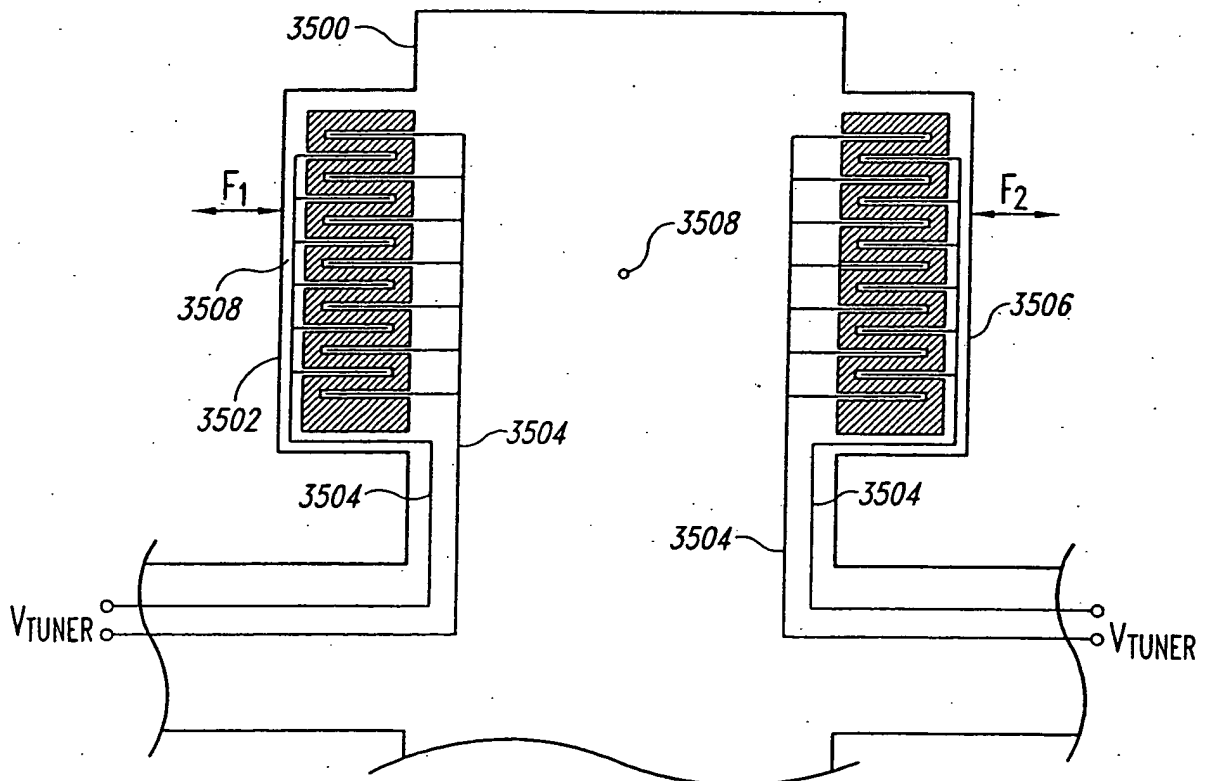
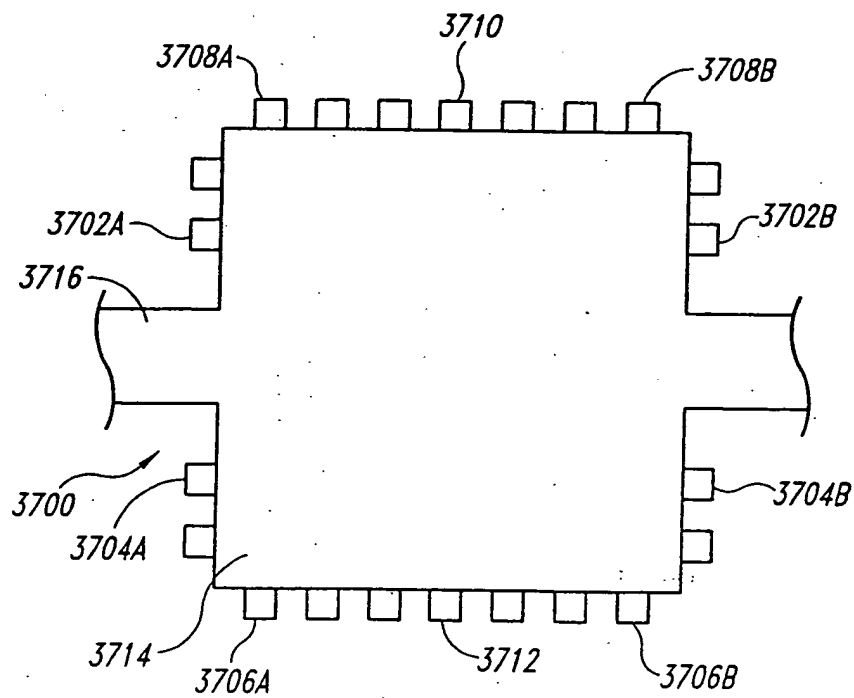
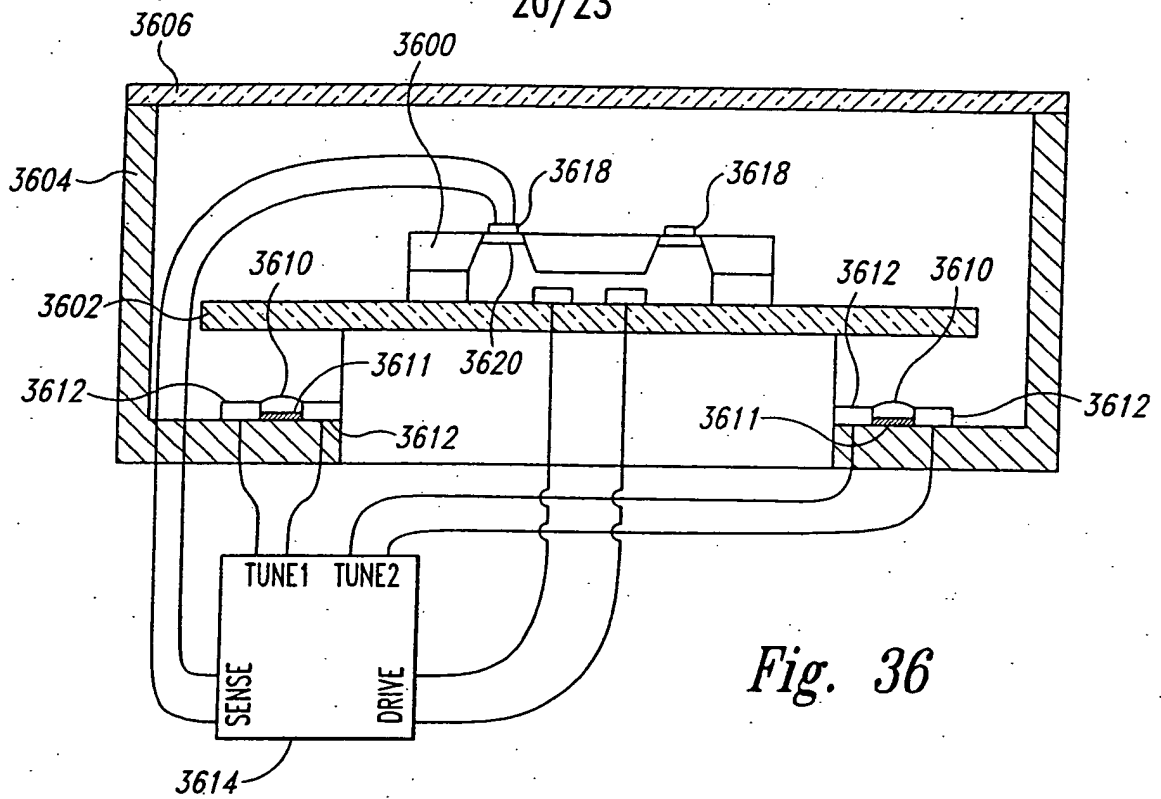


Fig. 35



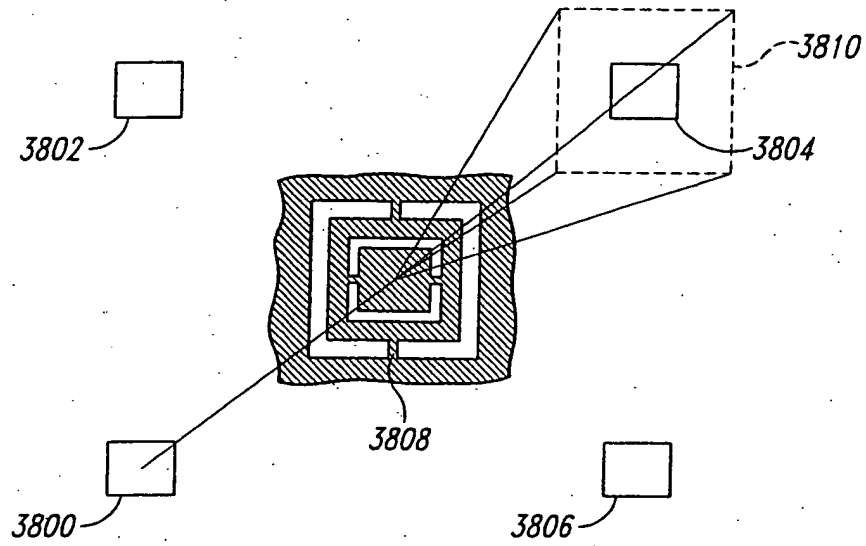


Fig. 38

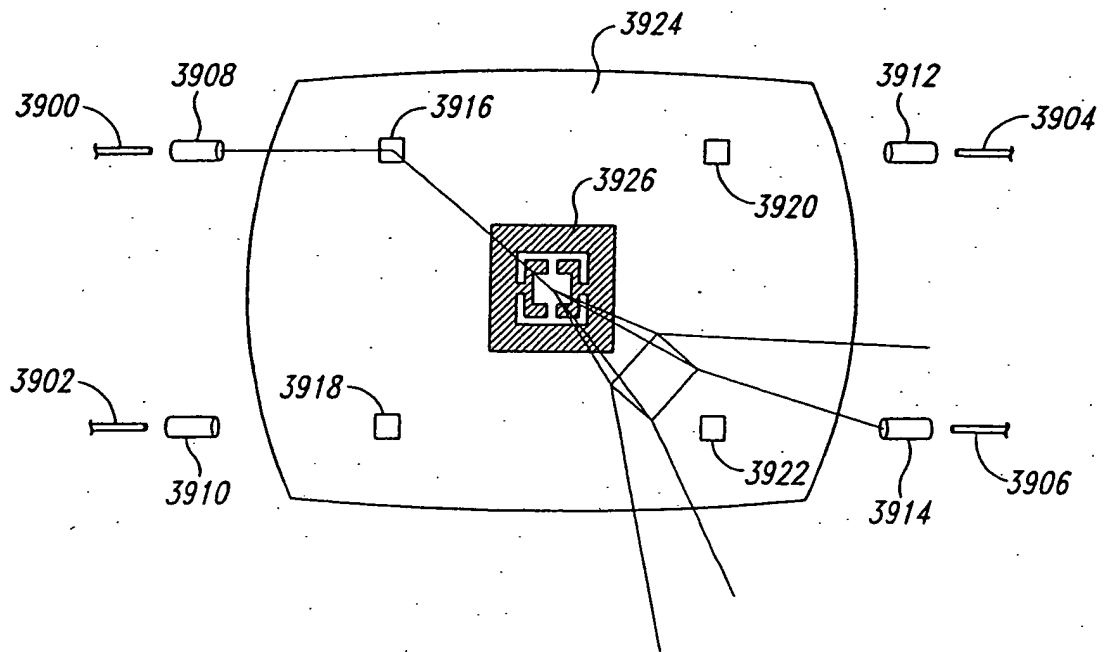
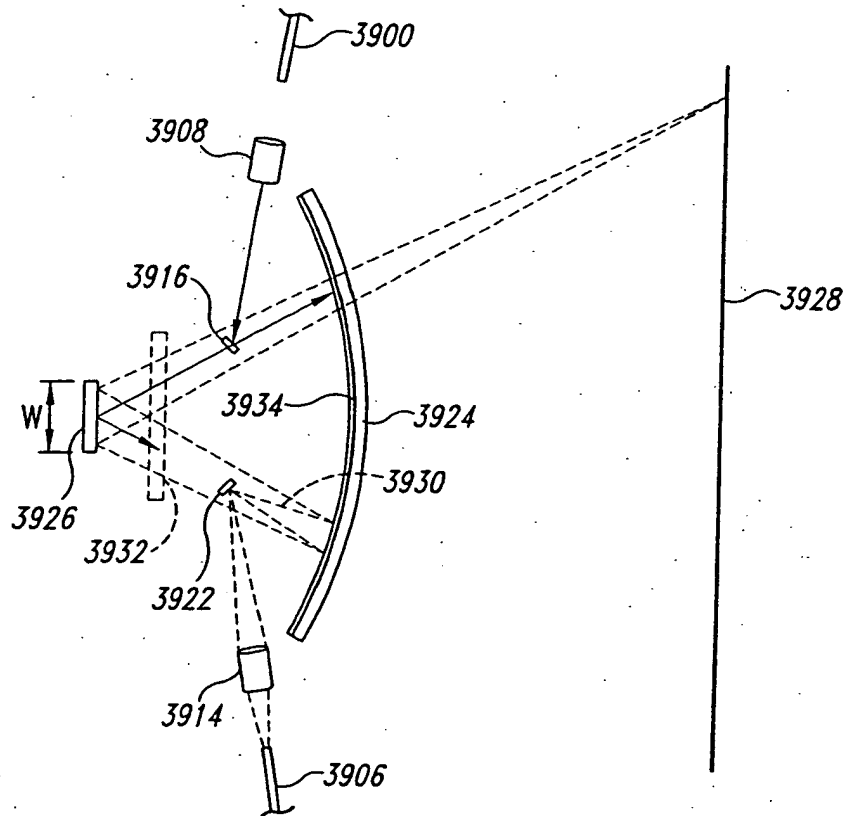


Fig. 39

*Fig. 40*

